

SISTEMAS E SINAIS - EXERCÍCIO II

SÉRGIO CORDEIRO

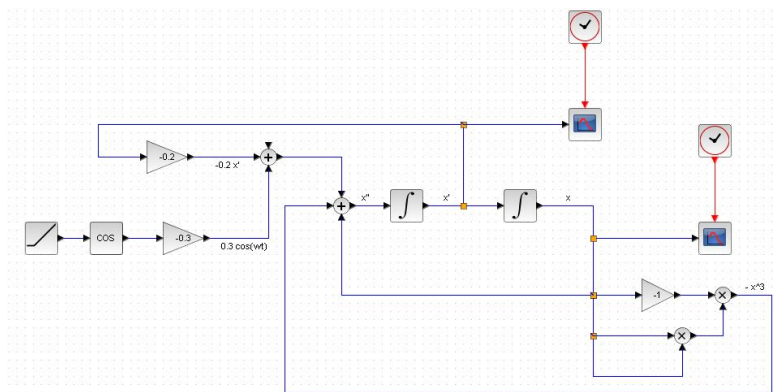
1. Simular o sistema descrito pela equação abaixo (oscilador de diferença dada), nas situações de entrada nula e de entrada forçada, e analisar os resultados:

$$(1) \quad \frac{d^2x}{dt^2} + 0.2 \frac{dx}{dt} - x + x^3 = 0.3 \cos(\omega t)$$

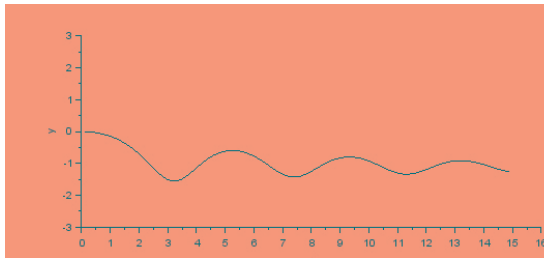
A equação 1 deve ser reescrita da seguinte maneira para simulação:

$$(2) \quad \frac{d^2x}{dt^2} = 0.3 \cos(\omega t) - 0.2 \frac{dx}{dt} + x - x^3$$

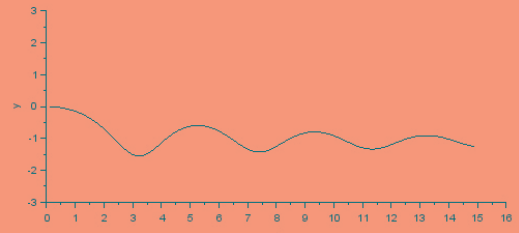
O diagrama correspondente à equação 2 é o seguinte:



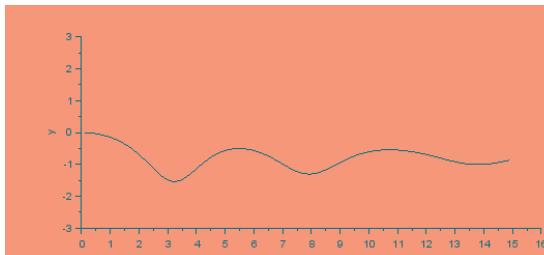
A resposta natural é obtida alterando-se para zero o multiplicador da fonte de sinal na entrada e estabelecendo valores não nulos para o estado inicial. Os gráficos da amplitude de x em função do tempo para os dois tipos de resposta são exibidos abaixo. Como mostram as figuras, a frequência do sinal de entrada influi pouco na forma da saída, que se torna mais estável com o aumento de ω . A resposta mostra uma característica fortemente oscilatória, mesmo na ausência de sinal de entrada e com estado inicial quase nulo.



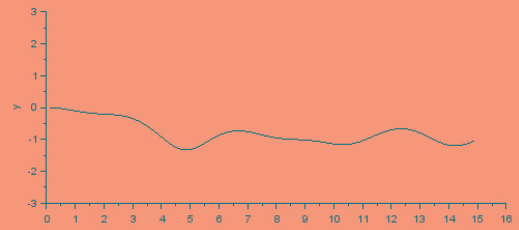
Resposta forçada do oscilador,
com $\omega = 2 \text{ mHz}$



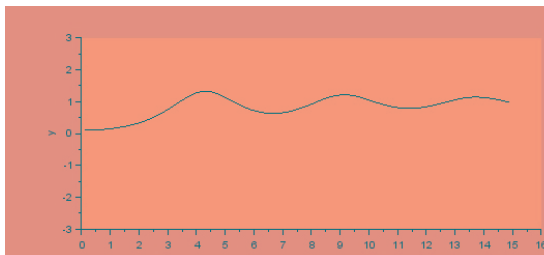
Resposta forçada do oscilador,
com $\omega = 20 \text{ Hz}$



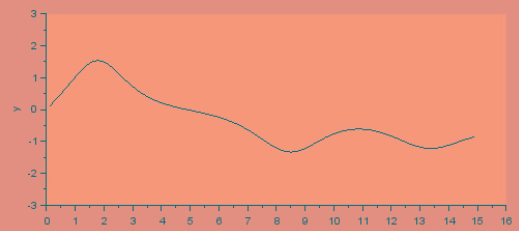
Resposta forçada do oscilador,
com $\omega = 0.2 \text{ Hz}$



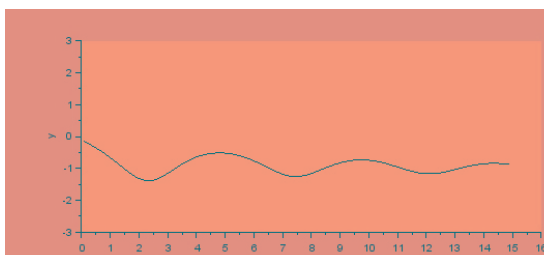
Resposta forçada do oscilador,
com $\omega = 2 \text{ Hz}$



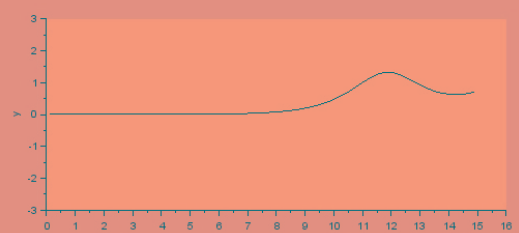
Resposta natural do oscilador,
com $x(0) = 0.1, x'(0) = 0$



Resposta natural do oscilador,
com $x(0) = 0, x'(0) = 1$

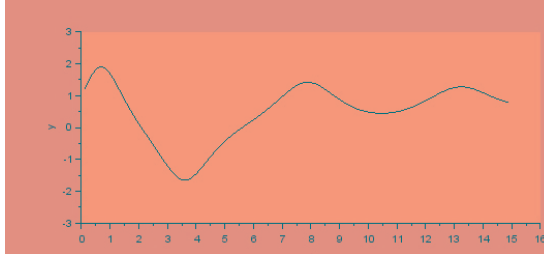


Resposta natural do oscilador,
com $x(0) = -0.1, x'(0) = -0.5$

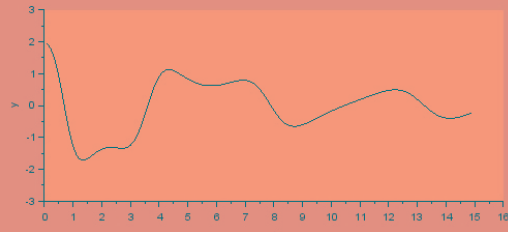


Resposta natural do oscilador,
com $x(0) = 1, x'(0) = 0$

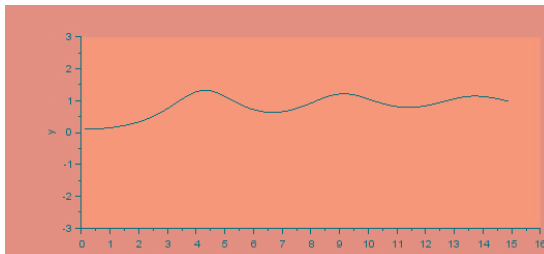
As figuras abaixo ilustram o comportamento de $\frac{dx}{dt}$ para resposta natural. Um fenômeno interessante ocorre quando $x'(0) = 0$ e $x(0) = 1$: as oscilações desaparecem; trata-se de um ponto de equilíbrio instável.



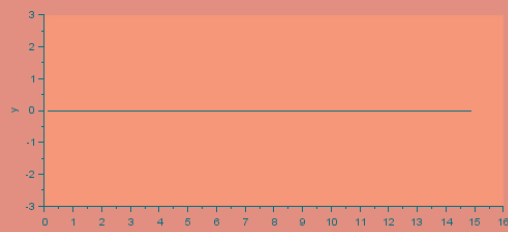
Resposta natural $x(t)$
com $x(0) = 1$, $x'(0) = 2$



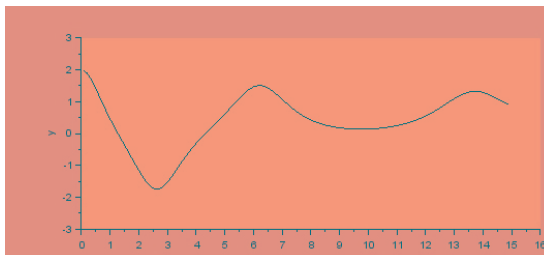
Resposta natural $x'(t)$
com $x(0) = 1$, $x'(0) = 2$



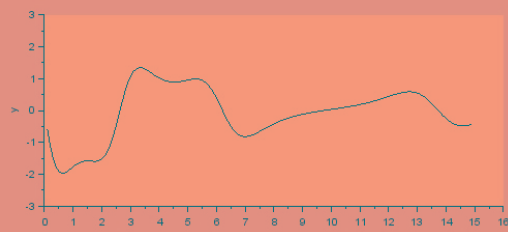
Resposta natural $x(t)$
com $x(0) = 1$, $x'(0) = 0$



Resposta natural $x'(t)$
com $x(0) = 1$, $x'(0) = 0$



Resposta natural $x(t)$
com $x(0) = 2$, $x'(0) = 0$



Resposta natural $x'(t)$
com $x(0) = 2$, $x'(0) = 0$

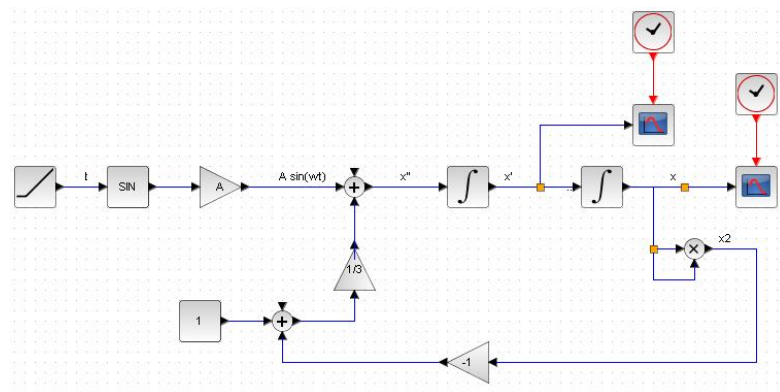
2. Simular o sistema descrito pela equação abaixo (oscilador de van der Pol), nas situações de entrada nula e de entrada forçada, e analisar os resultados:

$$(3) \quad \frac{d^2x}{dt^2} - \frac{1}{3}(1 - x^2)\frac{dx}{dt} + x = A \sin(\omega t)$$

A equação 3 deve ser reescrita da seguinte maneira para simulação:

$$(4) \quad \frac{d^2x}{dt^2} = A \sin(\omega t) + \frac{1}{3}(1 - x^2)\frac{dx}{dt} - x$$

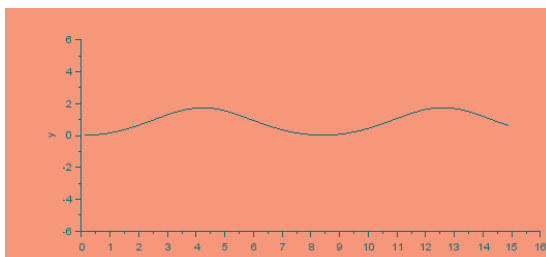
O diagrama correspondente à equação 4 é o seguinte:



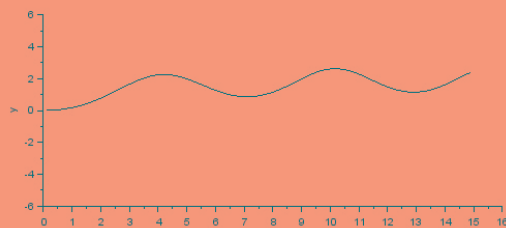
A resposta natural é obtida alterando-se para zero o valor de A e estabelecendo valores não nulos para o estado inicial. Os gráficos da amplitude de x em função do tempo para os dois tipos de resposta são exibidos abaixo. Como mostram as figuras, o oscilador possui basicamente 3 regiões de funcionamento:

- i. uma onde a resposta é linear, ou próxima disso
- ii. uma onde a resposta é oscilatória
- iii. uma onde a resposta não é limitada (instável)

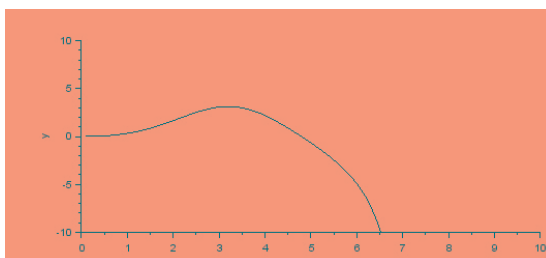
A frequência e a amplitude do sinal de entrada, bem como o estado inicial, determinam em que região o oscilador cairá. O aumento de A , ω , $x(0)$ e $x'(0)$ tornam o circuito menos estável.



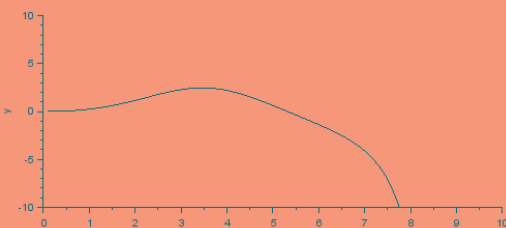
Resposta forçada do oscilador,
com $A = 1$, $\omega = 1 \text{ mHz}$



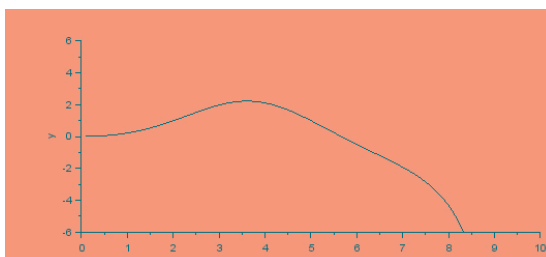
Resposta forçada do oscilador,
com $A = 1$, $\omega = 0.1 \text{ Hz}$



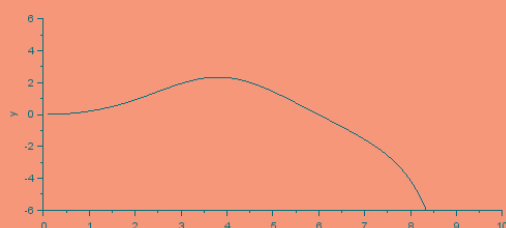
Resposta forçada do oscilador,
com $A = 1$, $\omega = 1 \text{ Hz}$



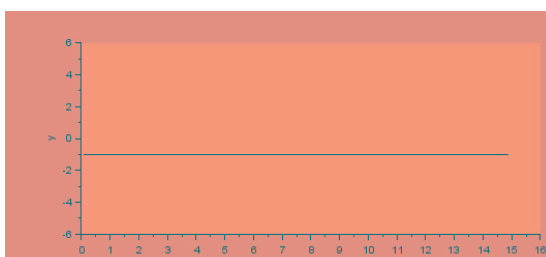
Resposta forçada do oscilador,
com $A = 0.5$, $\omega = 1 \text{ Hz}$



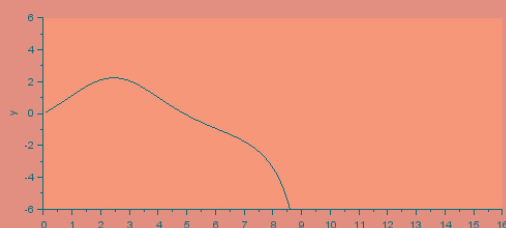
Resposta forçada do oscilador,
com $A = 0.33$, $\omega = 1 \text{ Hz}$



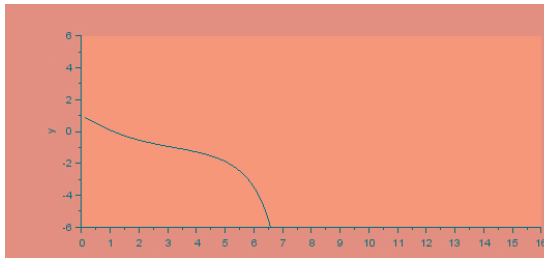
Resposta forçada do oscilador,
com $A = 0.33$, $\omega = 0.75 \text{ Hz}$



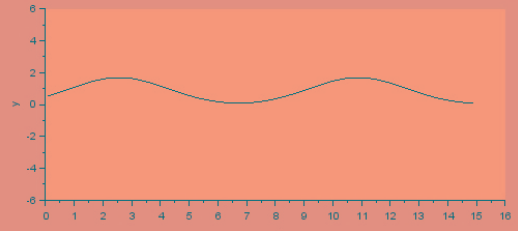
Resposta natural do oscilador,
com $x(0) = -1$, $x'(0) = 0$



Resposta natural do oscilador,
com $x(0) = 0$, $x'(0) = 1$

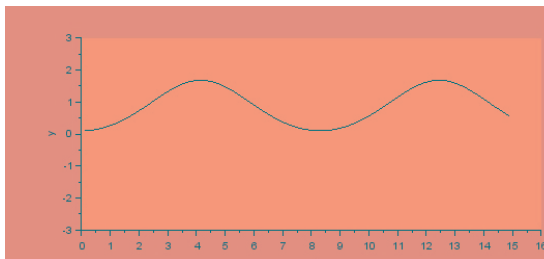


Resposta natural do oscilador,
com $x(0) = 1$, $x'(0) = -1$

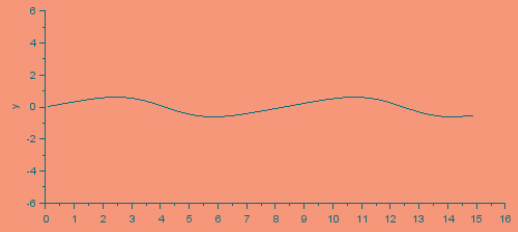


Resposta natural do oscilador,
com $x(0) = 0.5$, $x'(0) = 0.5$

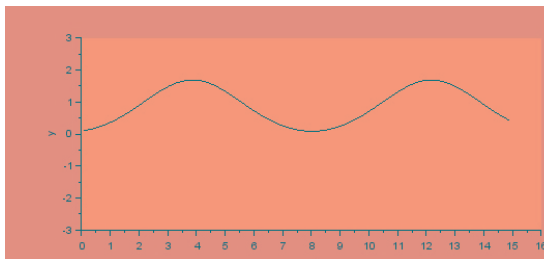
As figuras abaixo ilustram o comportamento de $\frac{dx}{dt}$ para resposta natural. Verifica-se que a resposta é limitada para os casos em que $x(t)$ também o é.



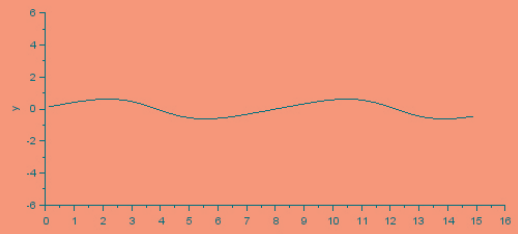
Resposta natural $x(t)$
com $x(0) = 0.1$, $x'(0) = 0$



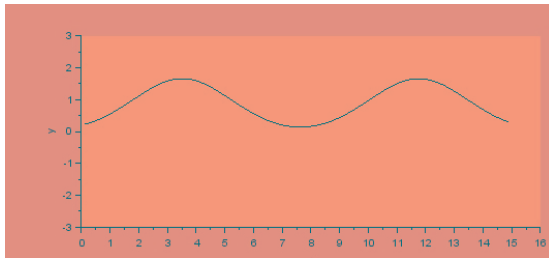
Resposta natural $x'(t)$
com $x(0) = 0.1$, $x'(0) = 0$



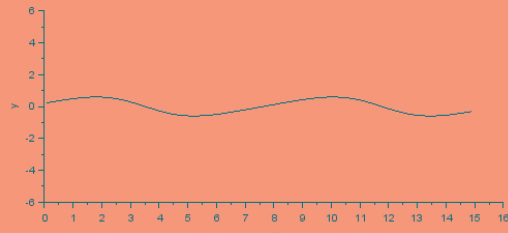
Resposta natural $x(t)$
com $x(0) = 0.1$, $x'(0) = 0.1$



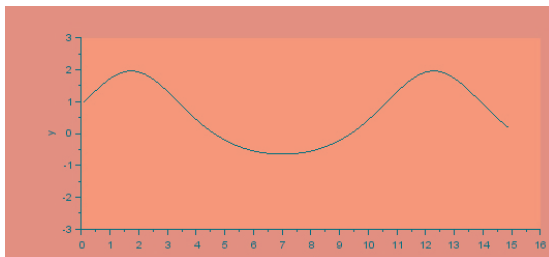
Resposta natural $x'(t)$
com $x(0) = 0.1$, $x'(0) = 0.1$



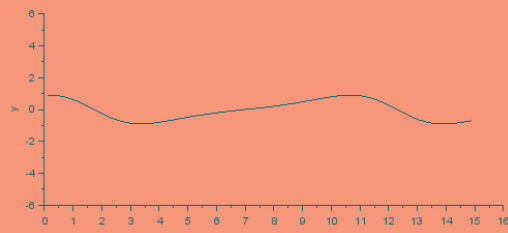
Resposta natural $x(t)$
com $x(0) = 0.2$, $x'(0) = 0.2$



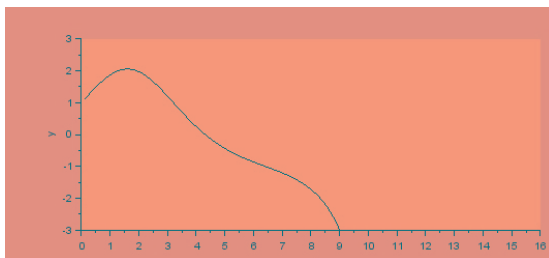
Resposta natural $x'(t)$
com $x(0) = 0.2$, $x'(0) = 0.2$



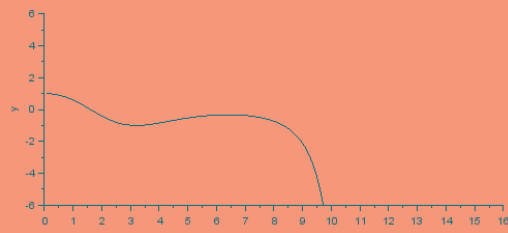
Resposta natural $x(t)$
com $x(0) = 0.9$, $x'(0) = 0.9$



Resposta natural $x'(t)$
com $x(0) = 0.9$, $x'(0) = 0.9$



Resposta natural $x(t)$
com $x(0) = 1.0$, $x'(0) = 1.0$



Resposta natural $x'(t)$
com $x(0) = 1.0$, $x'(0) = 1.0$

3. Considerando o processo de modulação em amplitude (AM), interpretar a alteração do espectro de frequências do sinal original:

Na modulação em amplitude tradicional, o sinal $f(t)$ é multiplicado por uma portadora $g(t)$ cuja forma geral é $g(t) = A \cos(\omega_c t)$, com $\omega_c \gg \omega_u$, onde ω_u é a maior das frequências presentes em $f(t)$. O sinal modulado $h(t)$ pode ser escrito, então, como $h(t) = f(t) g(t)$.

No domínio da frequência, a multiplicação no domínio do tempo corresponde a uma convolução, assim $H(s) = F(s) * G(s)$. Como $\omega_c \gg \omega_u$, podemos ignorar a resposta transitória e considerar apenas a frequência real. Nesse caso, $H(\omega) = F(\omega) * G(\omega)$; o espectro original de frequências $F(\omega)$ é, assim, transformado no espectro $H(\omega)$.

Como $g(t)$ é, conhecido, podemos calcular $G(\omega)$. Como a transformada de Laplace $\mathcal{L}\{g(t)\}$ só é definida se $\Re s > 0$ no caso de funções senoidais, é melhor usar a transformada de Fourier ¹:

$$\begin{aligned}
 G(\omega) &= \int_{-\infty}^{\infty} g(t) e^{-j\omega t} dt \\
 &= \int_{-\infty}^{\infty} A \cos(\omega_c t) e^{-j\omega t} dt \\
 &= A \int_{-\infty}^{\infty} \frac{1}{2} (e^{j\omega_c t} + e^{-j\omega_c t}) e^{-j\omega t} dt \\
 &= A \left[\int_{-\infty}^{\infty} e^{-j(\omega - \omega_c)t} dt + \int_{-\infty}^{\infty} e^{-j(\omega + \omega_c)t} dt \right] \\
 &= \begin{cases} 0 & \omega \neq \pm \omega_c \\ \pi A \delta(\omega) & \omega = \pm \omega_c \end{cases} \\
 &= \pi A \left[\delta(\omega - \omega_c) + \delta(\omega + \omega_c) \right]
 \end{aligned}$$

e então calcular $H(\omega)$, observando a propriedade da convolução com o impulso:

$$\begin{aligned}
 H(\omega) &= F(\omega) * G(\omega) \\
 &= F(\omega) * \pi A \left[\delta(\omega - \omega_c) + \delta(\omega + \omega_c) \right] \\
 &= \pi A \left[F(\omega - \omega_c) + F(\omega + \omega_c) \right]
 \end{aligned}$$

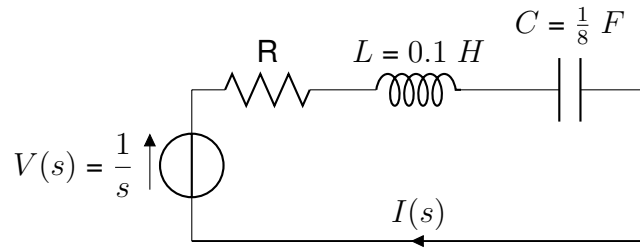
¹Aqui foi adotada como convenção a transformada não normalizada.

O espectro do sinal modulado, $H(\omega)$, possui duas componentes, cada uma delas com a mesma forma do espectro do sinal original, e centradas em $\xi = \pm\omega_c$. O sinal original possui frequências na faixa $-\omega_u \leq \omega \leq \omega_u$, portanto a largura de banda $BW_f = 2\omega_u = 4\pi f_u$, com $f_u = \frac{\omega_u}{2\pi}$. Se considerarmos um limite inferior ω_l para $|\omega|$, então $BW_s = 2(\omega_u - \omega_l)$. Neste caso, pode-se falar de duas bandas separadas, uma banda inferior onde $-\omega_u \leq \omega \leq -\omega_l$ e uma superior onde $\omega_s \leq \omega \leq \omega_u$. Evidentemente, a largura de banda total permanece a mesma; na saída, $BW_h = 2BW_f$ em todos os casos.

Como $\omega_c > \omega_u$, apenas a componente centrada em ω_c é fisicamente real. Ademais, as componentes $\omega < 0$ carregam informação redundante com relação às componentes $\omega > 0$. Isso torna vantajoso suprimir uma delas antes da transmissão, de forma a economizar energia e diminuir a necessidade de largura de banda do transmissor. Essa alternativa é conhecida como *single sideband* (SSB), em oposição à tradicional, conhecida como *double sideband* (DSB).

Em adição às bandas laterais, aparece em $H(\omega)$ uma componente $\xi = \omega_c$ correspondente aos momentos de silêncio, em que o sinal $f(t)$ não está presente e assim pode-se dizer que $\omega = 0$. Essa componente também não carrega informação nenhuma e, portanto, pode ser suprimida; tal alternativa é conhecida como *supressed carrier* (SC) [?].

4. Considerando o circuito elétrico abaixo e entrada de sinal em degrau:



- Traçar a curva de tensão no capacitor em função do tempo para diversos valores de R .
- Justificar, analisando a situação no domínio da frequência, por que a subida da tensão fica mais lenta com o aumento de R .
- Traçar a curva de tensão no indutor em função do tempo para diversos valores de R .
- Analisar o comportamento da tensão no indutor no domínio da frequência.

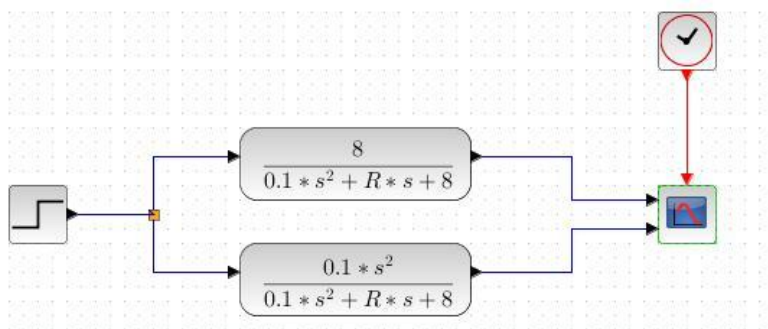
As funções de transferência do circuito são as seguintes:

$$\begin{aligned}
 G_C(s) &= \frac{V_C(s)}{V(s)} \\
 &= \frac{\frac{1}{Cs}}{R + Ls + \frac{1}{Cs}} \\
 &= \frac{\frac{1}{C}}{Rs + Ls^2 + \frac{1}{C}} \\
 (5) \quad &= \frac{8}{0.1s^2 + Rs + 8}
 \end{aligned}$$

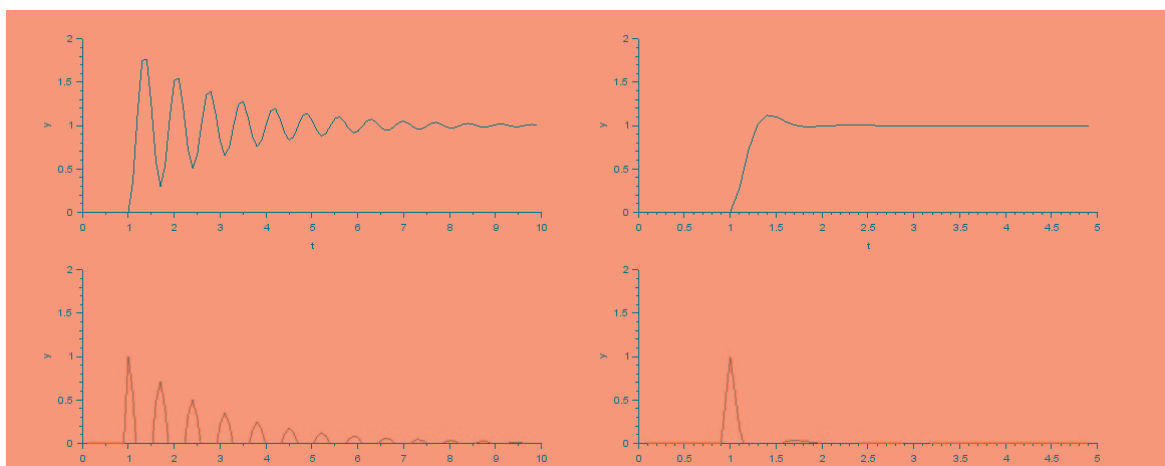
e

$$\begin{aligned}
 G_L(s) &= \frac{V_L(s)}{V(s)} \\
 &= \frac{Ls}{R + Ls + \frac{1}{Cs}} \\
 &= \frac{Ls^2}{Rs + Ls^2 + \frac{1}{C}} \\
 (6) \quad &= \frac{0.1s^2}{0.1s^2 + Rs + 8}
 \end{aligned}$$

O diagrama de simulação correspondente ao circuito é o seguinte:

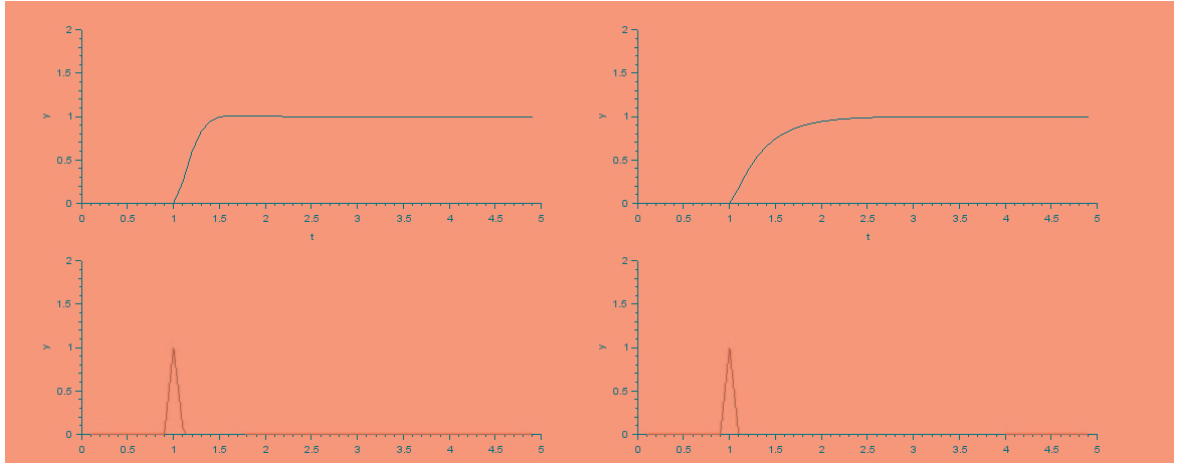
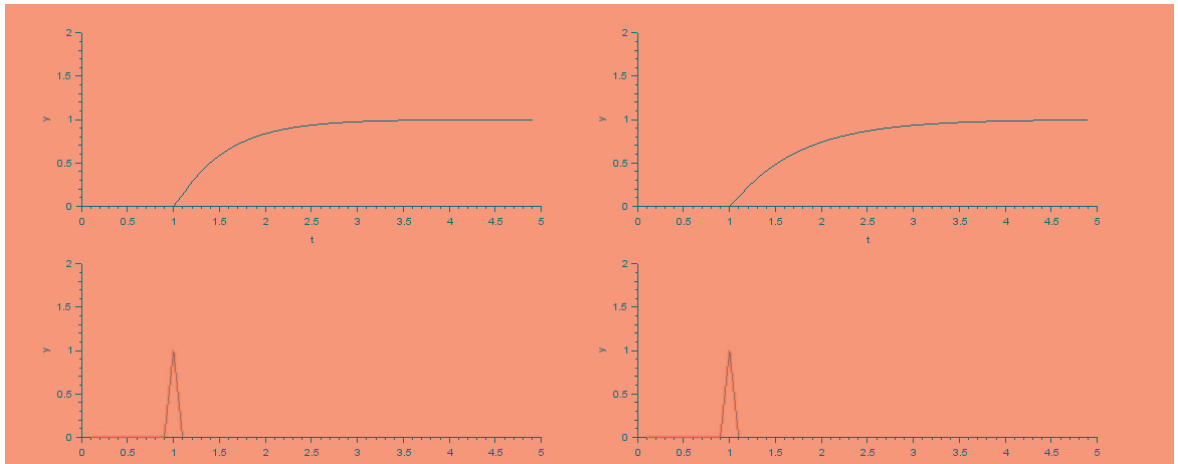


Os resultados obtidos para diversos valores de R , entrada em degrau e estado inicial nulo estão ilustrados nas figuras abaixo. À medida que R aumenta, a resposta vai ficando mais estável e mais lenta.



$R = 0.1 \, \Omega$

$R = 1 \, \Omega$

 $R = 1.5 \, \Omega$ $R = 3 \, \Omega$  $R = 4.5 \, \Omega$ $R = 6 \, \Omega$

Analisando a situação no domínio da frequência, pode-se dizer que o aumento de R provoca uma diminuição da frequência de ressonância do circuito. Como a função de transferência $G_C(s)$ é a de um filtro passa-baixas, o resultado é que as altas frequências vão sendo cada vez mais suprimidas, o que explica a subida mais lenta de $V_C(t)$. Já a função de $G_L(s)$ é a de um filtro passa-altas, por isso a diminuição da frequência de ressonância do circuito não afeta muito o espectro de $V_L(\omega)$, a não ser para valores muito baixos de R , que fazem com que o circuito apresente oscilações.

REFERÊNCIAS

[LATHI 1998] Bhagawandas Pannalai LATHI, **Signal Processing and Linear Systems**, Cambridge Berkeley Press, Carmichael, 1998, ISBN 0-941413-35-7, Chap. 4.7, pp. 277 a 289.

Simulação realizada com **Scilab** 5.5.2:

<https://www.scilab.org>

Texto formatado com **pdflatex** em ambiente **MiKTeX** 2.9:

<http://miktex.org/download/>